

بررسی تنوع فنوتیپی و ژنوتیپی اروینیاها از پکتولیتیک جدا شده از میزبان‌های

زیستی در بخش‌هایی از شمال ایران*

PHENOTYPIC AND GENOTYPIC DIVERSITY OF PECTOLYTIC ERWINIAS ISOLATED FROM ORNAMENTAL HOSTS IN SOME NORTHERN PARTS OF IRAN

ساره بقائی راوری^۱، مسعود شمس بخش^{۱***}، حشمت... رحیمیان^۲ و ناصر صفائی^۱

(تاریخ دریافت: ۱۳۸۸/۷/۲۰؛ تاریخ پذیرش: ۱۳۸۹/۶/۲۴)

چکیده

طیف وسیعی از باکتری‌های پکتولیتیک سبب خسارت به گیاهان زیستی می‌شوند. شناسایی دقیق عامل بیماری و بررسی تنوع فنوتیپی و ژنوتیپی باکتری‌ها، برای اعمال روش‌های کنترل مؤثر، ضروری است. تعداد ۳۸ جدایه باکتری از برگ و قسمت‌های گوشته گیاهان زیستی از گلخانه‌های مختلف استان‌های گیلان، گلستان، شرق مازندران و شهر مشهد جداسازی شد. جدایه‌ها از نظر ویژگی‌های فنوتیپی، بیماری‌زایی، نقوش الکتروفورزی پروتئین‌های سلولی و انگشت نگاری DNA ژنومی مورد مقایسه قرار گرفتند. بر اساس خصوصیات فنوتیپی افتراقی، جدایه‌ها در جنس‌های *Dickeya*, *Pectobacterium* و بینابین آنها قرار گرفتند. در آنالیز عددی خصوصیات بیوشیمیایی و فیزیولوژیکی افتراقی، جدایه‌های متنسب به جنس‌های بالا در ۱۲ گروه دسته‌بندی شدند. جدایه‌های گیاهان زیستی در الگوی پروتئین‌های سلولی متعدد بودند. این روش در دسته‌بندی مقدماتی جدایه‌ها مفید بود. با به کارگیری آغازگرهای ERIC, REP و BOX، قطعات DNA ژنومی جدایه‌های نماینده به همراه ۱۱ جدایه استاندارد تکثیر و الکتروفورز گردید. بر اساس الگوی به دست آمده از هر سه آغازگر، جدایه‌های گیاهان زیستی با اختلاف زیادی در کنار استانداردها گروه‌بندی شدند. به نظر می‌رسد rep-PCR در گروه‌بندی جدایه‌های اروینیای پکتولیتیک از قابلیت کافی برخوردار نیست.

واژه‌های کلیدی: لکه برگی، پوسیدگی نرم، گیاهان زیستی، rep-PCR

*: بخشی از رساله دکتری نگارنده اول ارایه شده به دانشکده کشاورزی، دانشگاه تربیت مدرس، تهران

**: مسئول مکاتبات، پست الکترونیکی: shamsbakhsh@modares.ac.ir

۱. به ترتیب دانشجوی سابق دکتری و دانشیاران بیماری‌شناسی گیاهی، دانشکده کشاورزی، دانشگاه تربیت مدرس، تهران

۲. استاد بیماری‌شناسی گیاهی، دانشگاه علوم کشاورزی و منابع طبیعی ساری

مقدمه

حالت چسبناک دارد که با تهیه یک اسلاید میکروسکوپی به وضوح تراوش جمعیت سلول‌های باکتری (ooze) قابل دیدن است. عوامل پوسیدگی نرم و لکه برگی از گیاهان Ziyiti متعددی چون آگلونوما (McFadden 1969; Arias *et al.* 1998; Chao *et al.* 2006 (MacFadden 1961; Nieves-Brun *et al.* 1985) فیلودندرон (Knauss & Miller 1974)، بگونیا Boyraz *et al.* (Saaltinnk & Kamerman 2005) Knauss & Wehlburg 1969; Alippi 2006) (Lopez 2009) جدا شده است. در ایتالیا بر اساس مشخصات بیوشیمیایی، فیزیولوژیکی و واکنش زنجیره‌ای پیمراز، پوسیدگی نرم ساقه فلفل‌های گلخانه‌ای را (*Pcc*) *Pectobacterium carotovorum* subsp. *carotovorum* شناسایی نمودند (Fiori & Schiaffino 2004). هم‌چنین کیم و همکاران در سال ۲۰۰۷، با به کارگیری آزمون‌های بیوشیمیایی و آنالیز اسید چرب زیر گونه *Pcc* را به عنوان عامل پوسیدگی کاکتوس‌های پیوندی (*Chamecereus silvestrii*) در کره معرفی نمودند (Kim *et al.* 2007).

سه گروه از توالی‌های حفاظت شده تکراری ERIC, REP و BOX به طور مجزا در موقعیت‌های بین ژنی ژنوم باکتری‌ها قرار گرفته‌اند (De Bruijn 1992) و نقش مهمی در سازماندهی ژنوم باکتریایی ایفا می‌کنند (Louws *et al.* 1994). نقش این عناصر حفظ شده تکراری در فعالیت‌های سلولی به طور دقیق مشخص نیست. احتمالاً آنها در پایداری mRNA، ترجمه، نوترکیبی همولوگ، سازماندهی کروموزم و اتصال به هیستون، ژیاراز، DNA پیمراز I تأثیرگذار می‌باشند (Versalovic *et al.* 1991, De Bruijn 1992) و احدهای تکراری بین ژنی ERIC فقط در ژنوم

باکتری‌های پکتولیتیک عامل لکه برگی و پوسیدگی نرم گیاهان زیستی روی طیف وسیعی از میزبان‌های گلخانه‌ای خسارت‌زا می‌باشند. با توجه به این که دامنه میزبانی اروپینیاهای پکتولیتیک به طور دقیق مشخص نیست، شناسایی نوع بیمارگ برای مدیریت کترل بیماری حائز اهمیت زیادی است (Toth *et al.* 2001). در ایران حجارود (Amani 1969) و متعاقب آن امانی (Hedjarood 1967) پوسیدگی نرم غده سیکلامن را بررسی و عامل بیماری را گونه‌ای از پکتوباكتریوم معرفی نمودند. از آن به بعد گزارش‌هایی مبنی بر جداسازی عوامل لکه برگی و پوسیدگی نرم از گیاهان دیفن باخیا (Arab & Rahimian 1989, Hasanzadeh 1995) Taghinasab (Rahimian & Talei 1995) (Razi Nataj *et al.* 2008a) (et al. 2008a) دیفن باخیا (Khademlou *et al.* 2006, Razi Nataj *et al.* 2006a) آگلونوما (Taghinasab *et al.* 2006b) (2008b) پاندانوس (Mahmoodi *et al.* 2006)، کاکتوس، گلایول و واژگون (Taghinasab *et al.* 2008) دراسنا (Taghinasab *et al.* 2008) ارائه شده است.

علائم روی برگ‌های گیاهان زیستی به صورت لکه‌های آبسخته و نامنظم همراه با هاله زرد بروز می‌نماید. در برخی از گیاهان علائم به شکل لکه‌های متعددالمرکز دیده می‌شود. با پیشرفت بیماری و انهدام بافت‌های گیاهی در اثر فعالیت آنزیم‌های پکتولیتیک، نقاط آبسخته به صورت خشک و کاغذی در آمده و گاهی اوقات وسط لکه‌های برگی نیز از بین می‌رود. در پوسیدگی نرم کاکتوس، بوته‌های آلوده از بخش‌های نزدیک سطح خاک شروع به پوسیدن کرده، با پیشروی بیماری بافت گوشتشی کاکتوس له شده و بوی نامطبوعی از آن متصاعد می‌شود. بافت آلوده

بررسی اخیر، ارزیابی قابلیت این روش‌ها در تفکیک باکتری‌های مورد مطالعه و نیز ارزیابی شدت تنوع می‌باشد.

روش بررسی نمونه‌برداری و جداسازی

طی بازدیدهای به عمل آمده در سال ۱۳۸۶ از گلخانه‌های گیاهان زیستی واقع در استان‌های گیلان، گلستان، شرق مازندران و شهر مشهد، گیاهان مختلف فیلودندرон (*Dieffenbachia* sp.), دیفن باخیا (*Philodendron* spp.)، آگلونما (*Epipremnum aureum*)، پتوس (*Aglaonema* sp.), کاکتوس (*Iris* sp.), زنبق (*Schlumbergera bridgesii*), آماریلیس (*Lampranthus* sp.), گیاه یخ (*Hippeastrum* sp.), فیکوس (*Syngonium* (*Ficus elastica*)), سینگونیوم (*Spathiphyllum* sp., *Asplenium* sp.), مارانتا (*Peperomia* sp.), پپرومیا (*Maranta leuconeura*), سنسوریا (*Sansevieria trifasciata*) که دارای علائم لکه برگی و پوسیدگی نرم بودند، جمع‌آوری و درون پاکت‌های کاغذی به آزمایشگاه منتقل شدند (جدول ۱). به منظور جداسازی عامل بیماری پس از شستشو با آب، از لکه‌های آبسوخته روی برگ‌ها قطعاتی جدا و در چند قطره آب مقطع در داخل تشک‌های سترون به کمک تیغ خرد گردید. پس از نگهداری به مدت ۱۵ دقیقه، از سوسپانسیون حاصل قطره‌ای روی محیط (Eosin Methylene Blue) مخلوط گردید. تشک‌ها در دمای 27°C نگهداری و پس از ۲۴-۴۸ ساعت، تک پرگنهای ریز برجسته با درخشندگی سبز متالیک انتخاب شده و برای خالص‌سازی دوباره روی محیط EMB به صورت خطی کشت گردید. از هر تشک یک تک پرگنه انتخاب و روی محیط‌های آگار غذایی-سوکروز (YDC, NAS) (Schaad 2001) و

ایتروباکتریاسه و گونه‌های *Vibrio* نشان داده شده، با این حال ERIC-PCR برای طیف وسیعی از باکتری‌ها استفاده Versalovic *et al.* 1991, 1994, Wilson & Sharp 2006 از اتصال به محل‌های دارای همولوژی نسبی، تکثیر را به صورت تصادفی انجام می‌دهند (Gillings & Holley 1997) در تاخوردهای زنجیره‌های نوکلئوتیدی نقش دارند و با تشییت mRNA در ناحیه بالادست در تنظیم بیان BOX (Martin *et al.* 1992). عنصر اولین بار برای شناسایی و تفکیک گونه Streptococcus pneumoniae محسوب این توالی در بعضی از مراحل انتقال ژنتیکی یا بیماری‌زاوی استرپتوكوکوس نقش دارد (Martin *et al.* 1992). از این آغازگرهای در شناسایی و گروه‌بندی جنس‌های مختلف باکتریایی از جمله جدایه‌های (*Toth* *et al.* 1999) *P. carotovorum* subsp. *atrosepticum* (Tsror *et al.* 2009; *Dickeya* spp.), *Slawiak* *et al.* 2009; *Czajkowski* *et al.* 2009 *Pseudomonas syringae* (Weingart & Volksch 1997; Louws *et al.* 1994) نیز تعیین تنوع تاکسونومیکی و ساختار فیلوزنوتیکی استرین‌های زاتوموناس استفاده شده است (Rademaker *et al.* 2000). کارایی این روش در شناسایی و تمایز بین جدایه‌های اروینیایی پکتولیتیک مولد لکه برگی و پوسیدگی نرم از گیاهان زیستی بررسی نشده است. لذا در مطالعه حاضر در ابتدا خصوصیات فنوتیپی، بیوشیمیایی، بیماری‌زاوی، نقوش الکتروفورزی پروتئین‌های سلولی جدایه بررسی شده سپس انگشت نگاری DNA ژنومی جدایه‌ها با rep-PCR انجام می‌پذیرد. هدف از انجام

جدول ۱. مناطق جمع آوری و علائم طبیعی جدایه‌های اروپیناها پکتولیتیک جدا شده از میزانهای زیستی در بخش‌هایی از شمال کشور

Table 1. Host plants, symptoms, isolate number and the geographical areas of Northern Iran where samples of diseased plants were collected from.

نام جدایه Name of isolate	میزان Host	محل و قوع بیماری Location	علائم در میزان Symptoms on Host
PhM1	(Philodendron) فیلودندرون	Mashhad	لکه برگی (leaf spot)
PhM3	(Philodendron) فیلودندرون	Mashhad	لکه برگی (Leaf spot)
PhM4	(Philodendron) فیلودندرون	Mashhad	لکه برگی (Leaf spot)
PhM5	(Philodendron) فیلودندرون	Mashhad	لکه برگی (Leaf spot)
PhG10	(Philodendron) فیلودندرون	Gorgan-Golestan	لکه برگی (Leaf spot)
IM2	(Ice plant) گیاه یخ	Mashhad	لهیدگی برگ (Leaf rot)
IM4	(Ice plant) گیاه یخ	Mashhad	لهیدگی برگ (Leaf rot)
IrS1	(Iris) زنبق	Sari -Mazandaran	لهیدگی پیاز (Bulb rot)
IrS2	(Iris) زنبق	Sari -Mazandaran	لهیدگی پیاز (Bulb rot)
PetG1	(Pothos) پتوس	Gorgan-Golestan	لکه برگی (Leaf spot)
PetM3	(Pothos) پتوس	Mashhad	لکه برگی (Leaf spot)
PetG5	(Pothos) پتوس	Gorgan-Golestan	لکه برگی (Leaf spot)
PetGi8	(Pothos) پتوس	Lahijan - Guilan	لکه برگی (Leaf spot)
SynGi4	(Syngonium) سینگونیوم	Lahijan - Guilan	لکه برگی (Leaf spot)
KM2	(Cactus) کاکتوس	Mashhad	پوسیدگی نرم (Soft rot)
KM5	(Cactus) کاکتوس	Mashhad	پوسیدگی نرم (Soft rot)
KA	(Cactus) کاکتوس	Amol- Mazandaran	پوسیدگی نرم (Soft rot)
KG6	(Cactus) کاکتوس	Kordkooy- Golestan	پوسیدگی نرم (Soft rot)
KG7	(Cactus) کاکتوس	Kordkooy- Golestan	پوسیدگی نرم (Soft rot)
AgM1	(Aglaonema) آگلونما	Mashhad	لکه برگی (Leaf spot)
AgM2	(Aglaonema) آگلونما	Mashhad	لکه برگی (Leaf spot)
AgM7	(Aglaonema) آگلونما	Mashhad	لکه برگی (Leaf spot)
AgGi12	(Aglaonema) آگلونما	Chaboksar - Guilan	لکه برگی (Leaf spot)
AgGi131	(Aglaonema) آگلونما	Chaboksar - Guilan	لکه برگی (Leaf spot)
AgGi15	(Aglaonema) آگلونما	Chaboksar - Guilan	لکه برگی (Leaf spot)
DA	(Dieffenbachia) دیفن باخیا	Amol- Mazandaran	لکه برگی (Leaf spot)
DGi2	(Dieffenbachia) دیفن باخیا	Lahijan - Guilan	لکه برگی (Leaf spot)
DGi6	(Dieffenbachia) دیفن باخیا	Lahijan - Guilan	لکه برگی (Leaf spot)
DGi61	(Dieffenbachia) دیفن باخیا	Lahijan - Guilan	لکه برگی (Leaf spot)
DGi7	(Dieffenbachia) دیفن باخیا	Lahijan - Guilan	لکه برگی (Leaf spot)
FM1	(Ficus) فیکوس	Mashhad	لکه برگی (Leaf spot)
FM2	(Ficus) فیکوس	Mashhad	لکه برگی (Leaf spot)
PeM	(Peperomia) پپرومیا	Mashhad	لهیدگی برگ (Leaf rot)
AmaS1	(Amaryllis) آماریلیس	Sari -Mazandaran	لکه برگی (Leaf spot)
AmaS3	(Amaryllis) آماریلیس	Sari -Mazandaran	لکه برگی (Leaf spot)
MaGi11	(Marantha) مارانتا	Lahijan - Guilan	لکه برگی (Leaf spot)
SanA	(Sansevieria) سنسوریا	Amol - Mazandaran	لهیدگی برگ (Leaf rot)
SpaGi3	(Spathiphyllum) اسباتیفیلوم	Lahijan - Guilan	لکه برگی (Leaf spot)

آزمون‌های الکتروفورز پروتئین و اثبات بیماری‌زایی به عنوان شاهد استفاده شدند.

آزمون اثبات بیماری‌زایی

به منظور ارزیابی قابلیت جدایه‌ها در ایجاد لکه برگی، روی گیاهان آگلونما، دیفن باخیا، فیلودندرتون، سینگونیوم، اسپاتیفیلوم، پتوس و پوسیدگی نرم در کاکتوس آزمون بیماری‌زایی انجام شد. گیاهان یاد شده (اهدایی واحد گلخانه گروه باگبانی دانشگاه کشاورزی و منابع طبیعی ساری) که دارای برگ‌های جوان و عاری از علائم بودند، در آزمون به کار برده شدند. یک‌صد میکرولیتر از سوسپانسیون باکتری واجد 10^7 cfu (در میلی‌لیتر)، توسط سرنگ به پشت برگ‌ها تزریق گردید (Boccara *et al.* 1991). از گیاهان مایه‌زنی شده با آب مقطر سترون به عنوان شاهد منفی استفاده شد. بوته‌ها به طور روزانه برای مشاهده واکنش به بیمارگر مورد ارزیابی قرار گرفتند. ده روز پس از بروز علائم، جداسازی مجدد باکتری انجام گرفت.

انگشت‌نگاری DNAی ژنومی

از کشت ۲۴ ساعته، ۲۳ جدایه نماینده و ۱۱ جدایه استاندارد (جدول ۲)، در آب مقطر سترون، سوسپانسیونی با چگالی نوری ۱ در طول موج ۶۰۰ نانومتر تهیه و به هر یک از آنها KOH ۰.۵٪ به میزان ۰/۱ حجم نمونه اضافه شد. نمونه‌ها به مدت دو دقیقه جوشانده و به مدت ۵ دقیقه در ۱۰۰۰۰ دور در دقیقه سانتریفوژ محلول رویی به عنوان DNAی الگو استفاده شد.

NGM (Lee & Yu 2006) کشت شد. برای ارزیابی‌های بعدی جدایه‌ها به صورت سوسپانسیون در آب مقطر سترون و مخلوط آب مقطر سترون و گلیسیرین (۱:۱/۲) به ترتیب در یخچال و فریزر 70°C - 70°C -نگهداری شدند.

آزمون‌های بیوشیمیایی و فیزیولوژیک

تعداد ۳۸ جدایه از میزبان‌های زیستی از استان‌های یادشده جمع‌آوری شدند و آزمون‌های فیزیولوژیکی، بیوشیمیایی و تغذیه‌ای بر اساس روش‌های استاندارد در باکتری شناسی روی آنها صورت گرفت (Schaad *et al.* 2001, Hauben *et al.* 2006).

مقایسه نقوش پروتئین‌های سلولی

از کشت ۲۴ ساعته باکتری‌ها روی محیط آگار غذایی (NA)، سوسپانسیونی با چگالی نوری ۱ در طول موج ۶۰۰ نانومتر با غلظت حدود 10^4 cfu (در میلی‌لیتر) با دستگاه اسپکتروفوتومتر تهیه شد. به اندازه ۱/۱٪ حجم نمونه، محلول سدیم دو دسیل سولفات ۱۰٪ به هر لوله اضافه شد و نمونه‌ها به مدت دو دقیقه جوشانده سپس به مدت ۱۵-۲۰ ثانیه با امواج فراصوت در دستگاه سونیکاتور (UP200H-Hielscher, Germany) به مدت ۱۰ دقیقه در ۸۰۰۰ دور در دقیقه سانتریفوژ گردیدند. فاز رویی به لوله‌های جدید منتقل و پس از اضافه کردن نصف حجم گلیسیول، در 20°C -نگهداری شدند. الکتروفورز پروتئین در ژل جداکننده ۱۰٪ پلی اکریلامید در سیستم ناپیوسته لملی (Laemmli 1970) انجام گرفت. مراحل رنگ آمیزی ژل به روش قبلی (Ahmadvand & Rahimian 2005) انجام شد. جدایه‌های (تهیه شده از مرکز نگهداری کشت‌ها، Dickeya zeae نیوزلند)، زیرگونه Pcc و جدایه E12 گونه ICMP

جدول ۲. مشخصات جدایه‌های استاندارد تهیه شده از مراکز نگهداری IBSBF و ICMP

Table 2. Characteristics of reference isolates received from IBSBF and ICMP culture collections

نام و محل کلکسیون کشت Culture collection	نام جدایه Isolate name	کد جدایه Isolate code
IBSBF بروزیل	<i>Pectobacterium carotovorum</i> subsp. <i>carotovorum</i>	863
IBSBF بروزیل	<i>Pectobacterium carotovorum</i> subsp. <i>odoriferum</i>	1814
IBSBF بروزیل	<i>Pectobacterium atrosepticum</i>	1819
IBSBF بروزیل	<i>Pectobacterium betavasculorum</i>	787
IBSBF بروزیل	<i>Pectobacterium wasabiae</i>	807
IBSBF بروزیل	<i>Pectobacterium cacticida</i>	1951
IBSBF بروزیل	<i>Dickeya zeae</i>	852
IBSBF بروزیل	<i>Dickeya dianthicola</i>	856
IBSBF بروزیل	<i>Dickeya chrysanthemi</i> bv. <i>chrysanthemi</i>	231
IBSBF بروزیل	<i>Dickeya chrysanthemi</i> bv. <i>parthenii</i>	994
ICMP نیوزلند	<i>Dickeya paradisiaca</i>	2349

ترتیب برای آغازگرهای REP، BOX و ERIC، دمای ۲۴۰ گسترش 72°C به مدت ۶۰ ثانیه (REP، BOX) و ثانیه (ERIC) انجام شد. طویل شدن نهایی رشته‌های DNA به مدت ۱۰ دقیقه در 72°C برنامه‌ریزی شد. هفت میکرولیتر از محصول PCR با دو میکرولیتر بافر بارگذاری مخلوط و در چاهک‌های ژل آگارز $1/5\%$ در بافر تریس-بورات-EDTA با شدت جریان ۷۰ میلی‌آمپر الکتروفورز گردید. برای تعیین اندازه قطعات از نشانگر آمیزی ژل با اتیدیوم بروماید، عکس‌برداری با استفاده از آمیزی ژل با اتیدیوم بروماید، عکس‌برداری با انجام Gel documentation.

تجزیه و تحلیل داده‌ها

گروه‌بندی جدایه‌ها بر اساس ویژگی‌های فنوتیپی و داده‌های مولکولی از طریق محاسبه میزان شباهت جدایه‌ها (Simple matching, SM) با استفاده از ضریب تشابه ساده (Jaccard) و ضریب تشابه جاکارد (Jaccard) انجام گرفت و

(Arabi *et al.* 2006). انگشت نگاری DNA ژنومی با استفاده از آغازگرهای BOXAIR; ERIC2/ERIC1R و REP2/REP1R بر اساس روش‌های توصیه شده با کمی Versalovic *et al.* 1991, Gillings & Holly 1997, Weingart and Volksch 1997) واکنش‌ها به حجم ۲۵ میکرولیتر شامل $2/5\text{ میکرولیتر} ۰/۲\text{ میکرولیتر} \text{PCR Buffer } 10X$ میلی‌مolar از مخلوط $dNTP$ ، MgCl_2 ، $۰/۲\text{ میکرولیتر} ۱/۵\text{ میکرولیتر} \text{DNA}$ و $۱/۵\text{ میکرولیتر} \text{Applied Biosystems 2720(U.S.A)}$ برای تکثیر DNA استفاده شد. به هر لوله اپن دورف حاوی آغازگرهای Rep، $1/5\text{ میکرولیتر DMSO}$ (Dimethyl sulfoxide) اضافه شد. تکثیر با برنامه دمایی ۴ دقیقه در 94°C ، سپس ۳۴ چرخه ۹۴°C به مدت ۵۰ ثانیه (REP، BOX) و ۳۰ ثانیه (ERIC)، دماهای اتصال ۴۰°C و ۵۰°C به مدت ۴۰ و ۶۰ ثانیه به

سعی شد میزان شباهت آنها در هر دو جنس *Dickeya* و *Pectobacterium* ارائه گردد.

گروه اول متشکل از دو زیر گروه بود. زیر گروه اول شامل جدایه‌های Dgi61, Di2, DGi6, PetG1, AgGi15 در بخش اول قرار گرفته‌اند و چهار جدایه اول بر اساس عدم تولید اسید از آرابینوز و مایو اینوزیتول و نیز تولید *D. ch. chrysanthemi* اسید از لاکتوز، ملی بیوز و رافینوز تشخیص داده شدند. در حالی که Dgi61 با وجود تفاوت در آزمون‌های هیدرولیز کازئین، لستین و تولید اسید از اینولین و مایو اینوزیتول مشابه گونه *D. zeae* بود. از طرفی کلیه اعضای این بخش به استثنای Dgi61 با تفاوت جزئی (تولید مواد احیا کننده از ساکارز) شبیه به گونه *P. atrosepticum* می‌باشند. ویژگی‌های مورد ارزیابی جدایه‌های KA, PetG5, DA, AgGi12, AgGi131, PeA که در بخش دوم این زیر گروه واقع شدند با خصوصیات گونه *D. ch. parthenii* مطابقت داشت. از اعضای حد واسط این بخش KA با اندکی تفاوت (تولید مواد احیا کننده از ساکارز و اسید از D-آرابیتول) و PeA به گونه *P. carotovorum* subsp. *carotovorum* هم‌چنین جدایه PetG5 خصوصیاتی مشابه *P. betavascolorum* داشت ولی از نظر تولید مواد احیا کننده از ساکارز و استفاده از سیترات مشابه زیر گروه Pcc بود. اعضای زیر گروه دوم KM2, KG7, PhM4, IM4 خصوصیاتی مشابه با زیر گونه *Pcc* و نیز در مواردی نزدیک به گونه *D. ch. partenii* داشتند. دو جدایه FM1 و FM2 این زیر گروه فقط در آزمون‌های هیدرولیز کازئین و لسیتین با ویژگی‌های *D. zeae* همسانی نداشتند. جدایه‌های گروه دوم (AgM1, AgM2) در ویژگی‌های افتراقی شبیه گونه *D. zeae* بوده ولی تفاوت‌های مختصراً

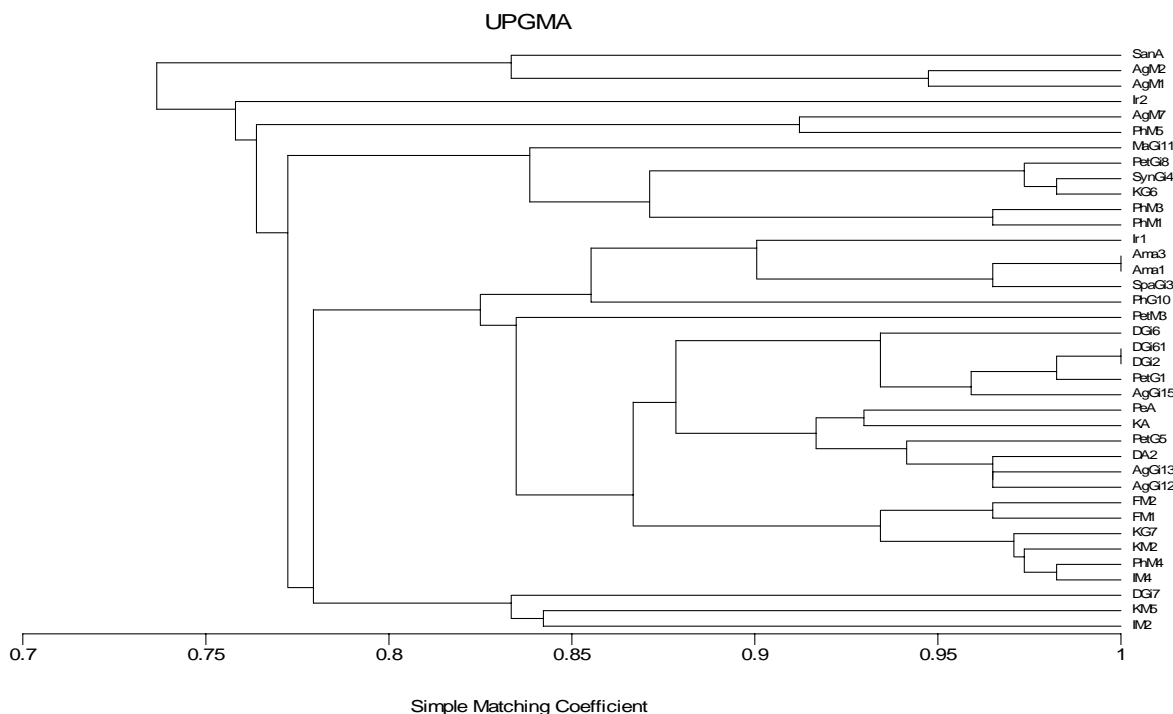
دندروگرام به روش UPGMA با استفاده از نرم افزار MVSP (Multivariate System Package, version 3.1) ترسیم گردید.

نتایج

ویژگی‌های فنوتیپی و بیوشیمیایی جدایه‌ها

جدایه‌های به دست آمده از گیاهان زیستی گرم منفي، اکسیداز منفي، اوره آز منفي، کاتالاز مثبت، بى هوازی اختياری، دارای تاژک‌های محیطی و قادر به لهانیدن برش‌های سیب زمینی بودند. نیترات را احیا و از تیوسولفات سدیم، H_2S تولید کردند، پرگنه‌های جدایه‌ها روی محیط EMB گرد و برجسته یا تخت با حاشیه منظم و با درخشنده‌گی سبز متالیک بود. پرگنه‌ها روی محیط NAS گرد، تخت یا اندکی برآمده و به رنگ شیری و یا سفید مایل به خاکستری بود. جدایه‌های IM4, FM1, FM2 در اطراف پرگنه روی محیط NGM رنگ قهوه‌ای تولید نمودند.

از بین جدایه‌های دارای ویژگی‌های یاد شده، ۳۸ جدایه بر اساس نه ویژگی افتراقی تولید اندول، رشد در $37^{\circ}C$ ، کاتابولیسم L-آرابینوز، مایو اینوزیتول، ترهالوز، α -متیل گلیکوزید، D-آرابیتول، D-مانوز، سوربیتول و مالونات (Samson *et al.* 2005) و ویژگی‌های دیگری چون تولید فسفاتاز، لسیتیناز، مواد احیا کننده از سوکروز، گاز از گلوکن، تولید اسید از مالتوز و D-آرابینوز، و مصرف سیترات از هم تفکیک گردیدند. بر پایه خصوصیات فنوتیپی (جدول ۳)، با در نظر گرفتن سطح تشابه ۸۵٪ از ماتریکس تشابه تهیه شده بر اساس ضریب تشابه ساده (SM)، جدایه‌های مورد بررسی در ۱۲ گروه قرار گرفتند (شکل ۱). از آنجایی که اعضای بعضی از گروه‌ها در ویژگی‌های مورد بررسی حالت بینایی داشتند، بنابراین



شکل ۱. دندروگرام رسم شده بر اساس خصوصیات فنوتیپی جدایه‌های اروینیای پکتولیتیک جدا شده از گیاهان زیستی. نام جدایه‌ها در جدول ۱ داده شده است.

Fig. 1. Dendrogram obtained on the basis of phenotypic features of pectolytic *Erwinias* isolated from ornamental plants. Name of isolates have been given in table 1.

جدایه *D. ch. parthenii* به *PhG10* شباهت داشت و فقط ویژگی تولید اسید از D-آرایینوز آن مثبت بود. هفت گروه باقی‌مانده هر کدام در برگیرنده یک جدایه بودند. جدایه *SanA* به گونه *D. ch. parthenii* شباهت داشت. بر اساس جداول افتراقی پکتوبacterionها، خصوصیات این جدایه، حد واسطه زیرگونه‌های *P. carotovorum* subsp. *odoriferum* *Pcc* و گونه *P. betavascolorum* به استثنای *Tritib* با زیرگونه *Pcc* و گونه *Pb* (به استثنای تولید اسید از سوربیتول و مواد احیاکننده از ساکاراز) همسانی داشتند. جدایه‌های *KM5* و *MaGi11* بر اساس ویژگی‌های مورد ارزیابی با گونه *D. ch. parthenii* *D. zea* مطابقت داشتند. *MaGi11* در دسته بندی پکتوبacterionها با مختصی

(هیدرولیز کازئین، تولید اسید از D-آرایینوز و مایواینوزیتول) با این گونه داشتند و نیز در تقسیم‌بندی پکتوبacterionها مشابه به زیر گونه *Pcc* بودند.

گروه سوم که شامل دو جدایه *PhM5* و *AgM7* بود، با توجه به ویژگی‌های مورد ارزیابی با مختصی تفاوت (تولید اسید از D-آرایینوز و تولید قلیا از سیترات) به زیر گونه *Pcc* شباهت داشت.

ویژگی‌های اعضای گروه چهار (*PhM1*, *PhM3*, *SynGi4*, *PetGi8*, *KG6*) مطابق با زیر گونه *Pcc* بود.

چهار جدایه اول گروه پنجم (*Irs1*, *Ama1*, *Ama3*, *SpaGi3*) با اندکی تفاوت (تولید اسید از اینولین و مایواینوزیتول) مشابه گونه *D. zea* بودند. در حالی که

در گیاهان مایه‌زنی شده با جدایه‌ها، ۱۰-۷ روز بعد از مایه‌زنی ظاهر شد. نشانه‌های بیماری به صورت لکه‌های آبسوخته با هاله زرد رنگ بروز کرده و به تدریج نکرورز شد. روی آگلونما نسبت به سایر گونه‌های گیاهی لکه‌های آبسوخته زودتر ظاهر شد و نیز نسبت بیشتری از نقاط مایه‌زنی شده، علائم را نشان داد (شکل ۳-A). در حالی که روی پتوس لکه‌ها نسبت به نواحی مایه‌زنی شده، پیشرفت کمی داشت. در کاکتوس علائم به صورت قهوه‌ای شدن بافت، له شدگی و در نهایت خشکیدگی کل گیاه بود (شکل ۳-B). جدایه‌هایی از کاکتوس، سینگونیوم و زنبق که در آزمون‌های فنوتیپی، با مختص‌صری تفاوت، به زیر گونه *Pcc* شباهت داشتند، لکه‌های آبسوخته بزرگ‌تری را در مدت زمان کوتاه‌تری روی گیاه آگلونما ایجاد نمودند. در برگ‌های مایه‌زنی شده با آب مقطر ستون هیچ‌گونه علائمی مشاهده نگردید. از لکه‌های ایجاد شده روی اندام‌های مایه‌زنی شده پس از ده روز جداسازی مجدد باکتری انجام شد. تعدادی از آزمون‌های کلیدی (از جمله مرفلولوژی پرگنه، کاتابولیسم تخمیری گلوکز، هضم ژلاتین، کازئین و چربی و استفاده از دو یا سه منبع کربنه) برای اطمینان از همسانی جدایه به دست آمده با جدایه به کار برده شده در مایه‌زنی، صورت گرفت.

انگشت نگاری DNA ی ژنومی

بر اساس ویژگی‌های فنوتیپی و نقوش الکتروفورزی پروتئین‌های سلولی، ۲۳ جدایه نماینده انتخاب شد و تکثیر آنها به همراه ۱۱ جدایه استاندارد (جدول ۲) در rep-PCR با به کارگیری آغازگرهای متداول صورت گرفت. الگوهای باندی حاصل از تکثیر جدایه‌ها در نرم افزار Photocapture در کنار نشانگر وزن مولکولی تعیین وزن شد. پس از ترسیم ماتریکس صفر و یک و تعیین درصد

تفاوت (تولید اسید از لاکتوز و دی آرابیتول) به زیر گونه *Pcc* تعلق داشت.

جدایه‌های ۷ DGi7 و IM2 خصوصیاتی مشابه گونه *D. ch.* و زیر گونه *Pcc* داشتند.

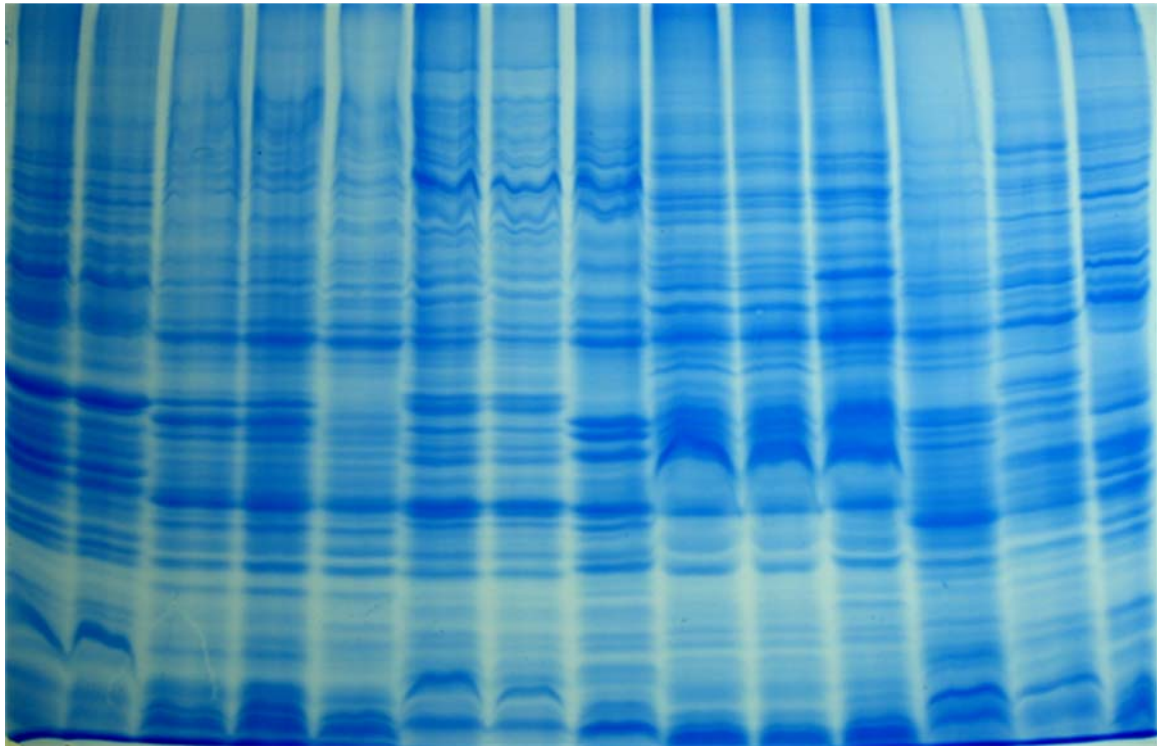
الگوی پروتئین سلولی جدایه‌ها

الگوی پروتئینی ۳۸ جدایه مورد بررسی در ژل پلی اکریلامید با یکدیگر و با جدایه‌های مرجع *P. carotovorum* subsp. *carotovorum*, *D. ziae* جدایه E12 سیب زمینی اصفهان مقایسه شد (شکل ۲). تفاوت قابل ملاحظه‌ای در الگوی پروتئینی جدایه‌ها وجود داشت. الگوی پروتئینی جدایه‌های *D. ziae* PeA, PhM4 تا حدودی به جدایه *D. ziae* شباهت داشت. الگوی پروتئینی جدایه‌های AgM1 و AgM2 (آگلونما) با SanA (سنسوریا) و نیز جدایه‌های DGi6, DGi2 و DGi16 (دیفن باخیا) با AgGi15 (آگلونما) شبیه یکدیگر بود. هم‌چنین جدایه‌های FM1 و FM2 (فیکوس)، PhM4 (فیلودندرон) و IM4 (گیاه یخ) الگوی پروتئینی مشابهی داشتند. جدایه‌های SynGi4 (سینگونیوم)، KG6 (کاکتوس)، PetGi8 (پتوس) بر اساس نقوش پروتئینی در یک گروه قرار گرفتند.

آزمون بیماری‌زا

تمامی ۳۸ جدایه به آگلونما مایه‌زنی شدند. بیماری‌زا ای جدایه‌های به دست آمده از فیلودندرون، دیفن باخیا، پتوس، کاکتوس، سینگونیوم، اسپاتیفیلوم نیز روی میزبان‌هایی که از آنها جدا شده بودند، نیز ارزیابی گردید. سه جدایه PetGi8, SynGi4, KG6 که دارای شدت بیماری‌زا بیشتری نسبت به سایر جدایه‌ها بودند، به هر هفت گونه گیاهان آزمون نیز مایه‌زنی شدند. علائم بیماری

PhM1 PhM3 FM1 FM2 PhM4 AgM7 PhM5 PhG10 AgM1 AgM2 SanA AgGi12 AgGi131 AgGi15



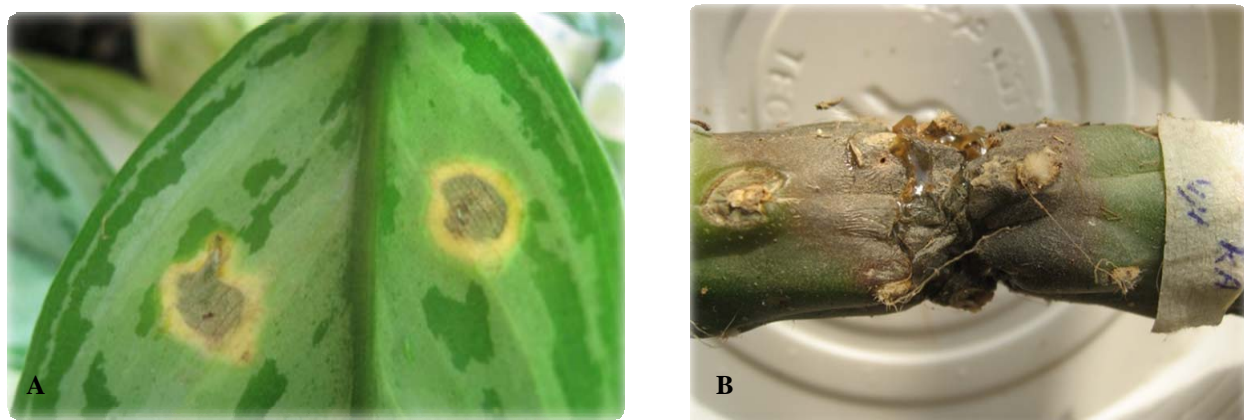
شکل ۲. مقایسه نقش الکتروفورزی پروتئین‌های سلولی استرین‌های اروینیا پکتولیتیک جدا شده از گیاهان زیستی در ژل پلی اکریل آمید٪/۱۰. نام جدایه‌ها در جدول ۱ داده شده است.

Fig. 2. Comparison of electrophoretic pattern of cell proteins of pectolytic *Erwinia* isolated from ornamental plants in 10% polyacrylamide gel. Name of isolates have been given in table 1.

با خیا در سه گروه دسته‌بندی شدند. DGi7 به همراه DGi2 و *D. paradisiaca* در کنار *Pcc* و *D. ch* جدایه‌های PhM1, PhG10 (فیلودندررون)، PetGi1 (پتوس) و *Pa*, هر کدام در یک گروه مجزا قرار گرفتند. هم‌چنین جدایه‌های زنبق در دو گروه متفاوت قرار گرفتند. جدایه *D. zae* در کنار *Pcc* و IrS1 با جدایه استاندارد IrS2 نیز SpaGi3 (اسپاتیفیلوم) گروه‌بندی شدند که مطابق با تقسیم‌بندی فنوتیپی بود. از ۱۵ گروه مشخص شده در روش BOX-PCR، سه گروه متعلق به استانداردها بود. قطعات تکثیری در این روش در محدوده ۱۸۰-۱۹۵۰ جفت بازی قرار گرفتند. نتایج حاصل از تکثیر با این آغازگر، جدایه‌های AgM2 (آگلونما) و PetG5 (پتوس)

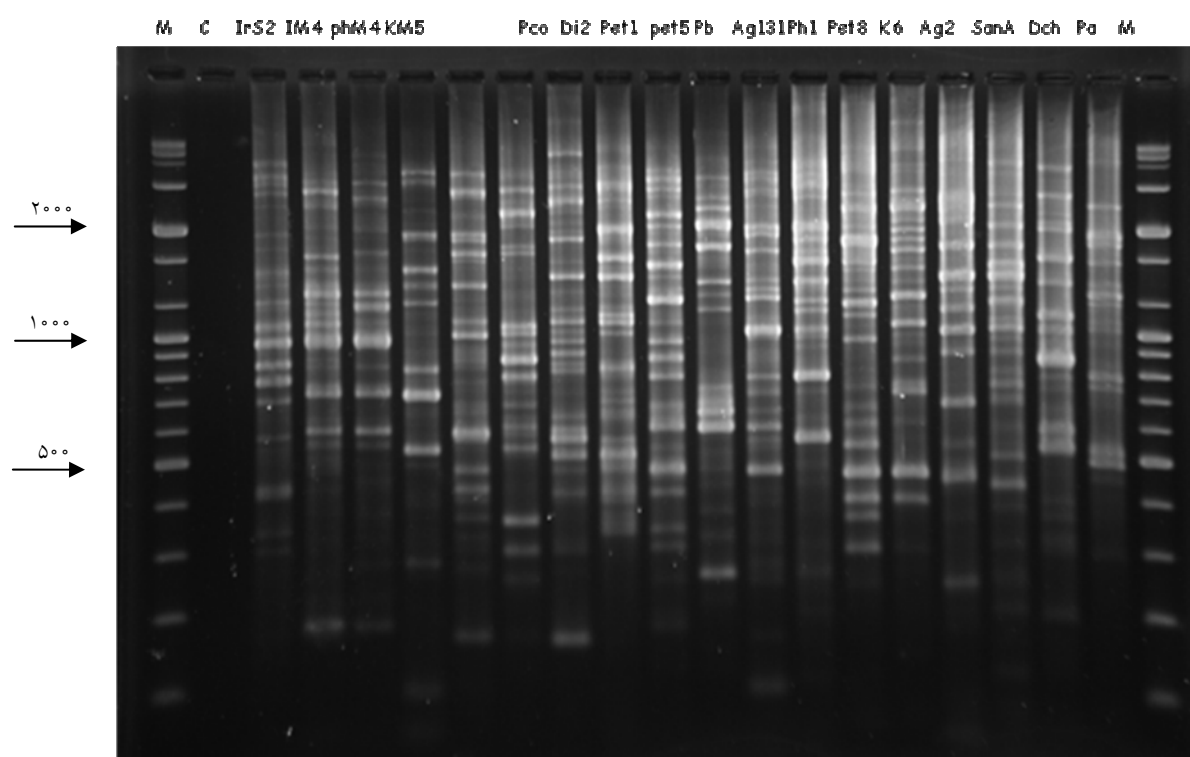
شباهت جدایه‌ها با ضریب جاکارد (Jaccard)، نقش الکتروفورزی قطعات DNA ای تکثیر شده جدایه‌ها با آغازگرهای REP, ERIC و BOX در سطح شباهت ۲۴ درصد بررسی شد.

تعداد قطعات تکثیر شده در روش Eric-PCR بین ۱۲-۲۳ و طول آنها بین ۱۸۰-۵۷۰ جفت باز بود (شکل ۴). در سطح تشابه ۲۴ درصد نشانگرهای REP, ERIC و BOX جدایه‌های حاضر را به ترتیب به ۲۱، ۱۳ و ۱۵ گروه تقسیم نمودند. هر سه آغازگر جدایه‌ها را متفاوت از هم گروه‌بندی کردند. جدایه‌های KM2 (کاکتوس) و PhM4 (فیلودندررون) در هر سه روش، الگوی ژنتیکی مشابهی را نشان دادند. در ERIC-PCR، جدایه‌های نماینده دیفن



شکل ۳. علائم لکه برگی آبسوخته روی آگلونما (A) و لهیگی روی کاکتوس (B) مایهزنی شده با جدایه‌های اروینیای پکتولیتیک.

Fig. 4. Translucent leaf spot on Aglaonema (A) and soft rot on Cactus (B) inoculated with pectolytic *Erwinia*.



شکل ۴. نقش قطعات حاصل از تکثیر DNA ای جدایه‌ها با ERIC-PCR در ژل آگارز ۱/۵٪. نام جدایه‌ها و استانداردها در جداول ۱ و ۲ داده شده است. M: شاخص جرم مولکولی، C: شاهد منفی

Fig. 4. ERIC-PCR fingerprints of bacterial isolates on 1.5 % Agarose gel. Name of isolates and references have been given in table 1 and 2. M: DNA size Marker, C: negative control.

تنوع بیشتری را نشان دادند. تمامی جدایه‌ها ویژگی‌های یکسانی در آزمون‌های کلیدی مانند تحمل نمک طعام ۰/۵٪، عدم حساسیت به اریترومایسین، تولید آرجی نین دی هیدرولاز، تولید اسید از D-مانوز، ترهالوز، اینولین و استفاده از گلوتامات و گلوکونات داشتند. بر اساس ویژگی‌های فنوتیپی، ۱۲ گروه در سطح شباهت ۰/۸۵٪ قابل تمایز بودند.

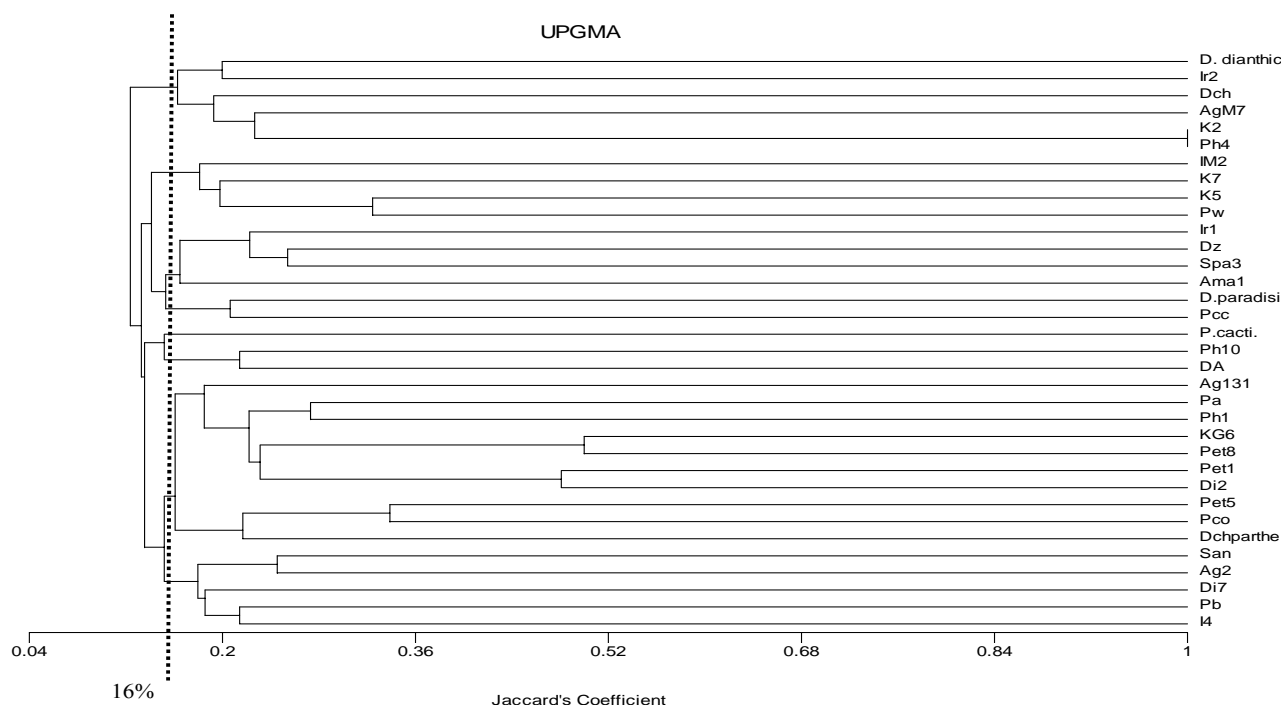
نقوش الکتروفورزی پروتئین‌های سلولی بین جدایه‌های مورد مطالعه نیز تنوع بالایی را نشان داد که دلالت بر غیرهمگن بودن این جدایه‌ها دارد. این روش تنها در دسته‌بندی مقدماتی جدایه‌ها مفید بود. اروینیاهای عامل پوسیدگی نرم روی طیف وسیعی از گیاهان بیماری‌زا بوده و (Baras et al. 1984) محدودیت میزبانی چندانی ندارند. بیماری‌زایی سه جدایه PetGi8، SynGi4 و KG6 به ترتیب از کاکتوس، سینگونیوم و پتوس روی هر هفت گونه گیاه زیستی دلالت بر این امر دارد. جدایه‌ها از نظر شدت علائمی که روی گیاه آگلونما ایجاد کردند، متفاوت بودند. شدت بیماری در جدایه‌هایی از کاکتوس، سینگونیوم و زنبق در مقایسه با استانداردهای به کار برده شده در آزمون بیماری‌زایی، بیشتر بود. بر اساس زمان ظهور علائم و نیز اندازه لکه‌های روی برگ نسبت به نواحی مایه‌زنی شده، بهترین گیاه برگی برای بررسی آزمون بیماری‌زایی جدایه‌های زیستی، آگلونما بود. جدایه‌های به دست آمده از کاکتوس روی گیاه مربوطه نشانه‌های تیپیک پوسیدگی نرم را نیز ایجاد نمودند.

دندروگرام‌های مشتق شده از نتایج تکثیر جدایه‌ها با هر سه نشانگر متفاوت بود. این نتیجه با توجه به تعداد متفاوت باندهای تکثیر شده، دمای اتصال مربوط به هر آغازگر و پراکنده‌گی عناصر تکراری هدف در ژنوم جدایه‌ها، دور از انتظار نبود (Rademaker et al. 2000).

همراه استانداردهای *Pcc* و *D. ch.* و نیز جدایه‌های KM2 و PhM4 به ترتیب از کاکتوس و فیلومندرون به همراه *D.ch.* در گروه‌های جداگانه قرار داد. تعداد قطعات تکثیر شده با REP-PCR نیز بین ۶-۱۲ عدد بود. در این روش تفاوت زیادی بین الگوی باندی جدایه‌ها در مقایسه با استانداردها دیده شد. با ترکیب نتایج به دست آمده از هر کدام از روش‌های BOX-PCR، ERIC-PCR و REP-PCR دندروگرام ترکیبی آنها ترسیم گردید (شکل ۵). در سطح تشابه ۱۶٪، استانداردها در بین جدایه‌های به دست آمده از گیاهان زیستی پراکنده شدند و فقط *P. cacticida* به صورت یک گروه مجزا در دندروگرام قرار گرفت. جدایه‌های IrS2، AgM7، PhM4، KM2، KG7 و *D. dianthicola* در یک گروه واقع شدند. جدایه‌های IM2 و KM5 به همراه جدایه *Pw* یک گروه جداگانه را ایجاد کردند. جدایه‌های SpAGi3، IrS1 و AmaS1 در کنار جدایه استاندارد *Dz* قرار گرفتند که با گروه‌بندی فنوتیپی مطابقت داشت.

بحث

در تحقیق حاضر، ۳۸ جدایه اروینیاهای پکتولیتیک مولد لکه برگی و پوسیدگی نرم قسمت‌های هوایی گیاهان زیستی برخی مناطق شمالی کشور، بررسی شدند. تنوع قابل ملاحظه‌ای در خصوصیات فنوتیپی و ژنوتیپی جدایه‌ها دیده شد. بر اساس صفات تفکیکی موجود در جدایه افراقی اروینیاهای پکتولیتیک (Schaad et al. 2001, Hauben et al. 2006) در آزمون‌های تولید اندول، فسفاتاز، مواد احیاکننده از ساکارز و گاز از گلوکن، هیدرولیز ژلاتین، کازئین و نیز در تولید اسید از قندهای سوربیتول، مایو اینوزیتول، دی آرابینوز، دی آرابیتول، ادونیتول، آلفا متیل گلیکوزید



شکل ۵. دندروگرام مربوط به ارتباط جدایه‌های اروینیا پکنولیتیک جدا شده از گیاهان زیستی آلوده به لکه برگی و پوسیدگی نرم بر اساس نتایج حاصل از rep-PCR

Fig. 5. Dendrogram showing the relationship between pectolytic *Erwinia*s isolated from leaf spot and soft rot infected ornamental plants based on rep-PCR.

برای مثال جدایه SanA در یک سری صفات مشابه *D. ch.* و در صفاتی دیگر به *Pcc* و *Pb* شبیه بود. در حالی که rep-PCR، این جدایه را با گونه *Pb* در یک گروه قرار داد. جدایه Ir2 در ویژگی‌های بیوشیمیایی در کنار *Pectobacterium* و *Dickeya* قرار گرفت. و در آزمون‌های مولکولی با دسته‌بندی شد. با وجود مشاهده هم‌بستگی نسبی صفات بیوشیمیایی جدایه‌های مطالعه حاضر با جدایه‌های استاندارد، الگوهای پیچیده اثر انگشت DNA ی ژنومی، امکان مقایسه جدایه‌های به دست آمده از گیاهان زیستی آلوده و استانداردها را مشکل می‌سازد. به نظر می‌رسد جداسازی جدایه‌ها از گیاهان زیستی مختلف، در تفاوت‌های ژنتیکی بین

نقوش حاصل از تکثیر DNA ای جدایه‌ها با آغازگرهای ERIC، قابلیت بیشتری در تفکیک جدایه‌ها داشت. هم‌چنین ERIC-PCR نسبت به دو روش دیگر جدایه‌های استاندارد را بهتر در کنار جدایه‌های زیستی قرار داد. با هر سه روش تنوع موجود درون جدایه‌های به دست آمده از هر گونه گیاه زیستی نیز قابل مشاهده بود. با وجود این که قلمه‌های گیاهان زیستی از استان‌های شمالی کشور به مناطق دیگر (شهر مشهد) برده می‌شود ولی تنوع در استرین‌های جدا شده از این دو منطقه دیده شد. هم‌چنین در چندین مورد گروه‌بندی ژنتیکی با فنوتیپی همسانی نداشت. صفات بیوشیمیایی، تعدادی از جدایه‌ها را حد واسط دو جنس *Dickeya* و *Pectobacterium* قرار داد.

منابع

جهت ملاحظه به صفحات (61-64) متن انگلیسی مراجعه شود.

جدایه‌ها تأثیرگذار باشد. در هر حال rep-PCR در گروه‌بندی جدایه‌های اروینیای پکتولیتیک از قابلیت کافی برخوردار نیست.